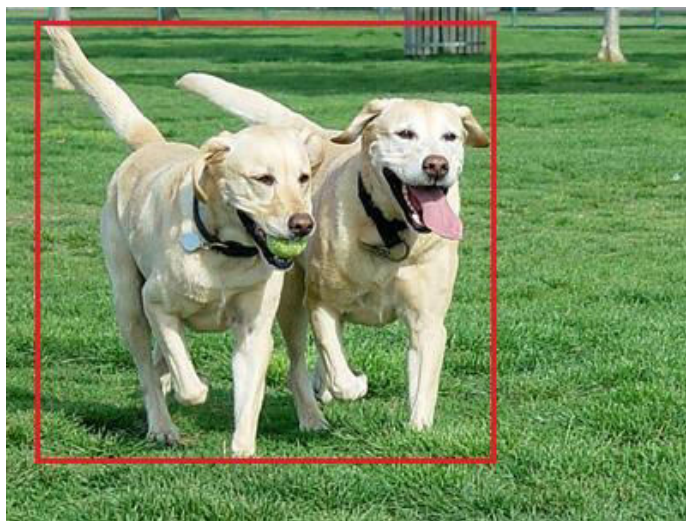
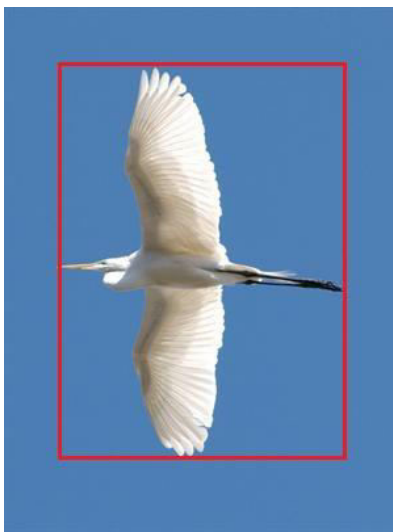


Обнаружение выделяющихся инородных объектов на базе сверточной нейронной сети и векторов Фишера

Асп. 2 г.о. Саушкин Роман

Выделяющийся инородный объект

- ▶ Выделяющийся инородный (*salient*) объект – ярко выраженный объект, по своей структуре отличающийся от других объектов сцены. Другими словами, это такой объект, на котором в первую очередь фиксируется взгляд и привлекается внимание человека.



Где впервые возникла задача обнаружения выделяющихся инородных объектов

- ▶ Задача предсказания областей фиксации взгляда человека в целях исследования механизмов работы зрительной системы человека
- ▶ Задача определения **ROI** (**Region Of Interest** — регион интересов — интересующая область изображения)

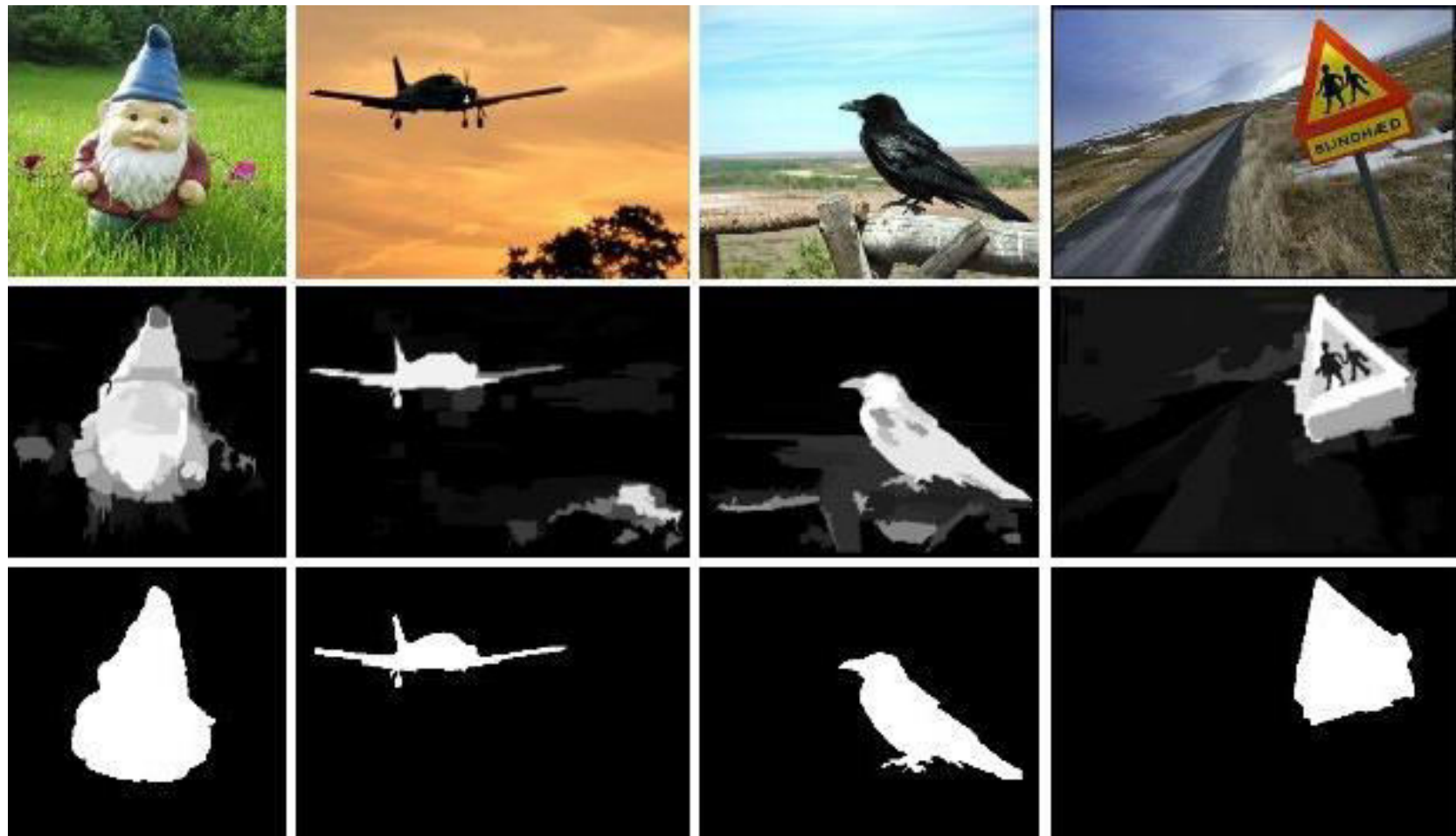


Области применения сегодня

- ▶ Кадрирование изображений (image cropping)
- ▶ Ретаргетинг изображений (image retargeting)
- ▶ Описание содержания изображения (image summarization)
- ▶ Генерация эскизов (thumbnail generation)
- ▶ Слежение за объектом (object tracking)
- ▶ Классификация изображений (image classification)
- ▶ Идентификация личности (person re-identification)



Карта выделяемости (saliency map)



Контрастность

- ▶ Контрастность – наиболее существенный фактор для зрительного внимания (привлекает внимание человека на низком уровне)
- ▶ Традиционно контрастность описывается с помощью признаков, разработанных самим человеком. Они основываются на сравнении таких низкоуровневых характеристик, как цвет, яркость, гистограммы, характеризующие текстуру, и т.п.

Недостаток:

- Низкоуровневые признаки не способны эффективно «улавливать» семантический контекст, скрытый в изображении



(a)



(b)



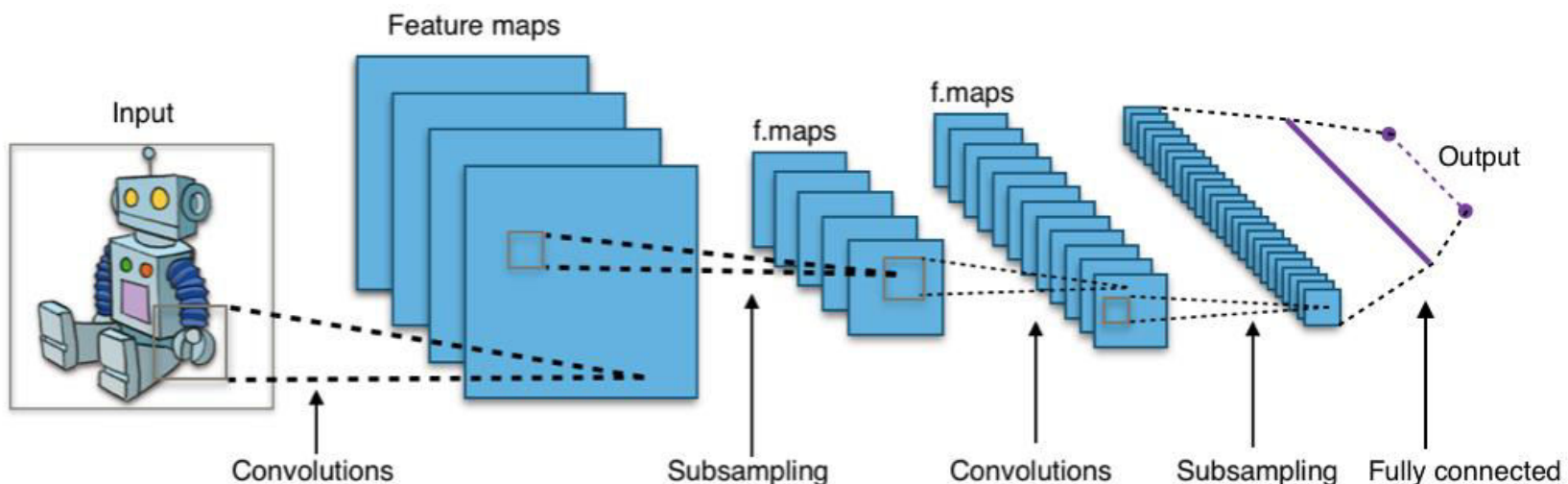
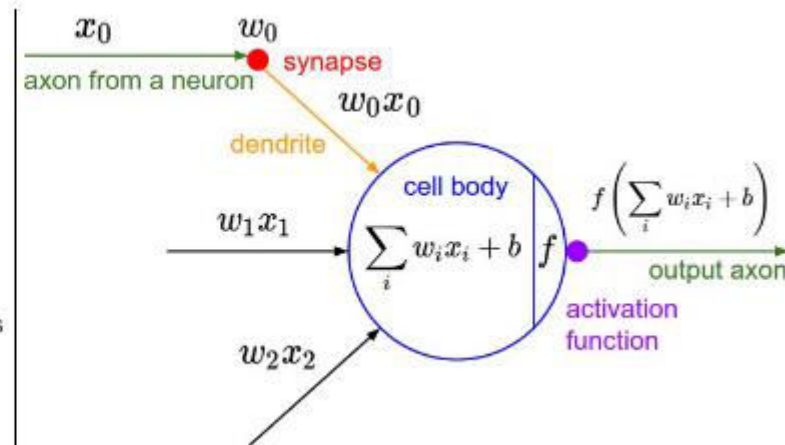
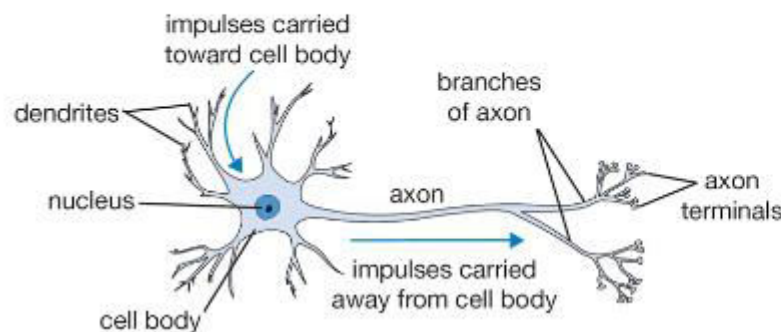
(c)



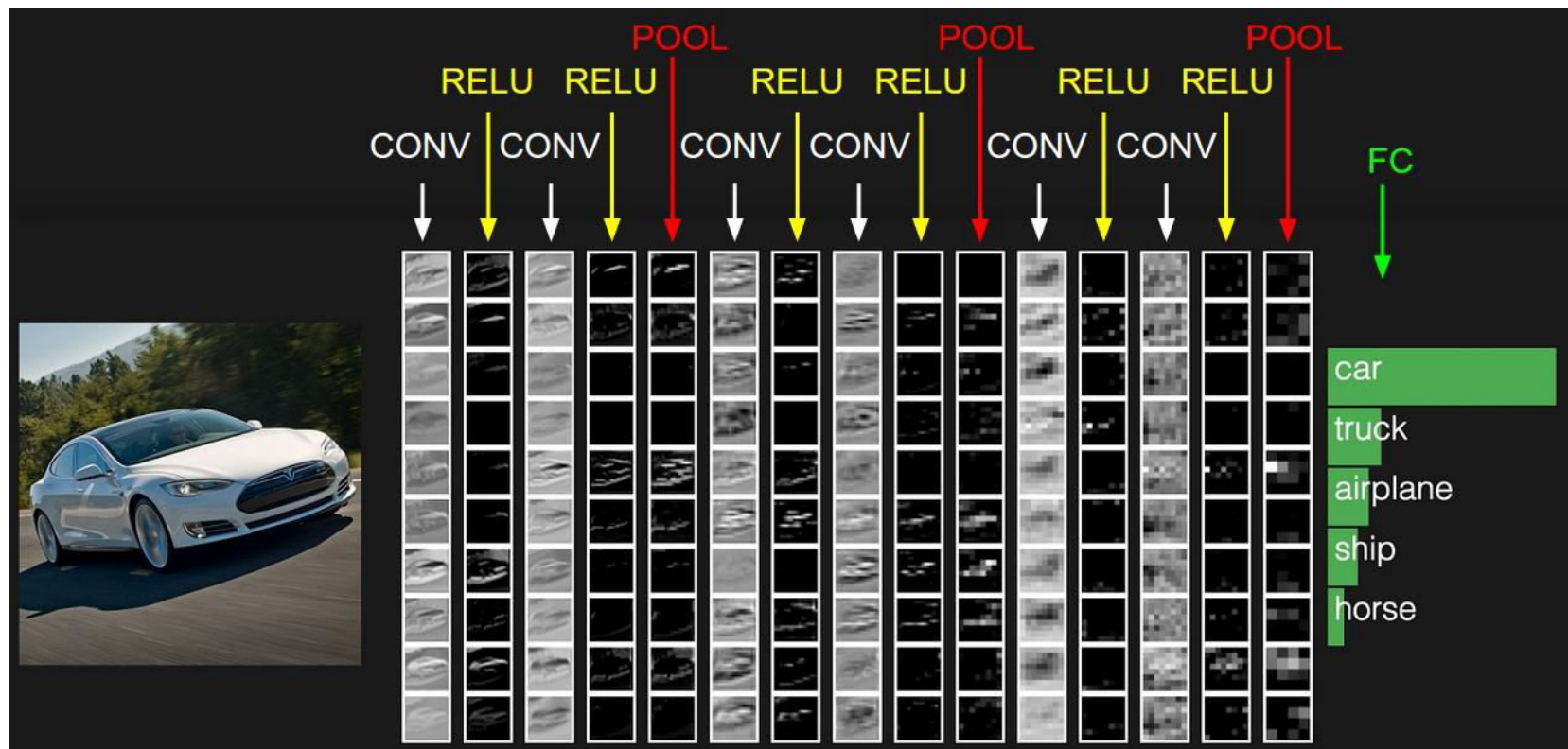
(d)



Сверточная нейронная сеть



Сверточная нейронная сеть (CNN)



$$\text{Sigmoid } \sigma(x) = 1/(1 + e^{-x})$$

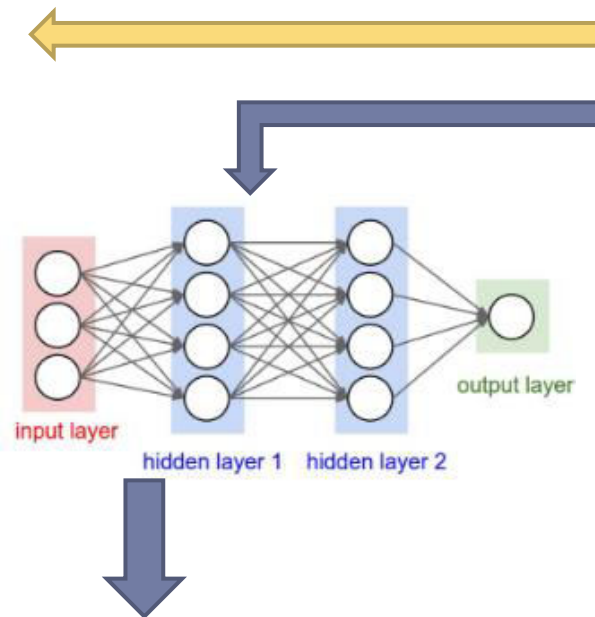
$$\text{Tanh. : } \tanh(x) = 2\sigma(2x) - 1.$$

$$\text{ReLU. } f(x) = \max(0, x).$$



Комбинация CNN- и низкоуровневых признаков

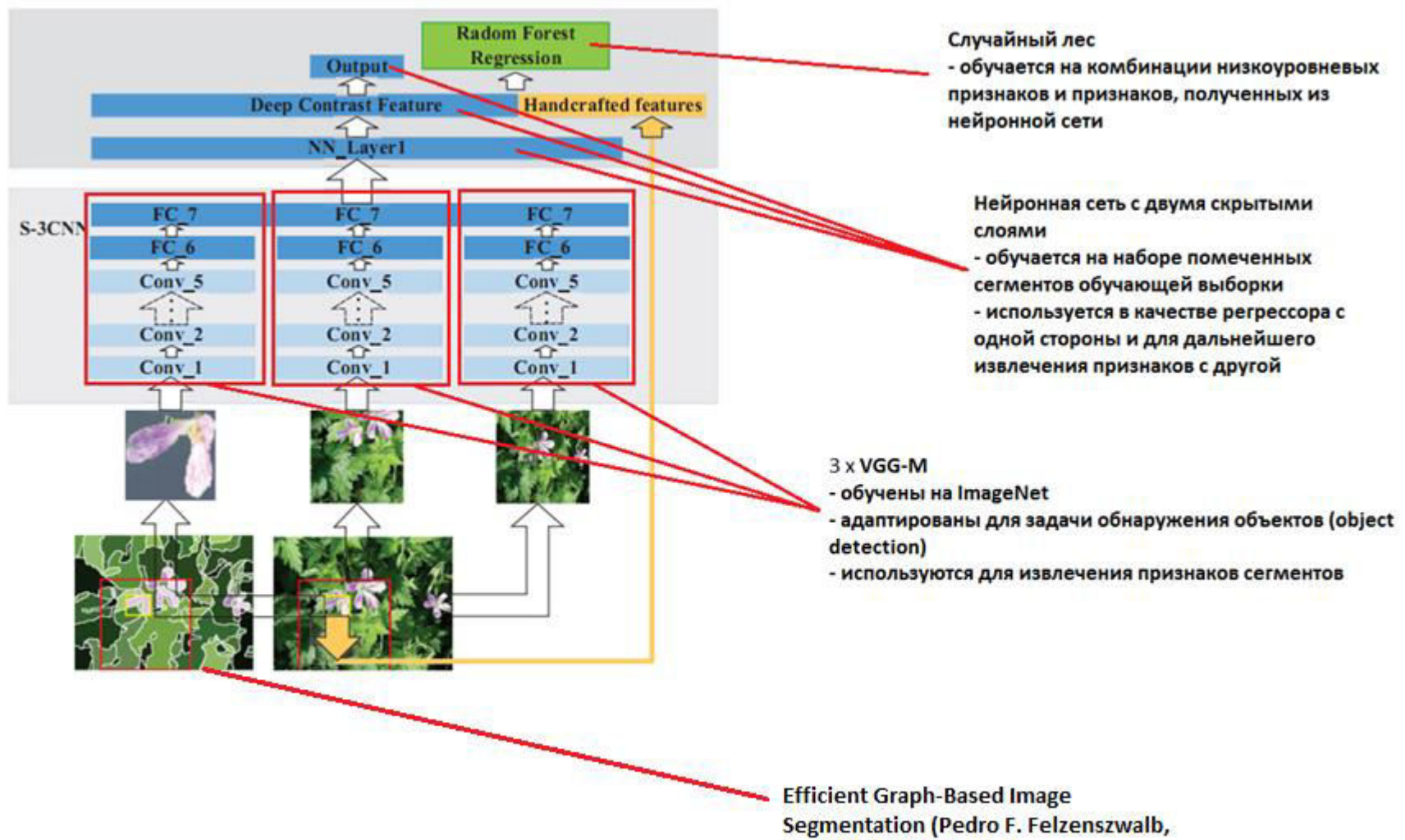
Features
Difference between Average RGB Values
χ^2 distance between RGB Histograms
Difference between Average LAB Values
χ^2 distance between LAB Histograms
Difference between Average HSV Values
χ^2 distance between HSV Histograms
χ^2 distance b.w. Max response LM Histograms
χ^2 distance between LBP Histograms



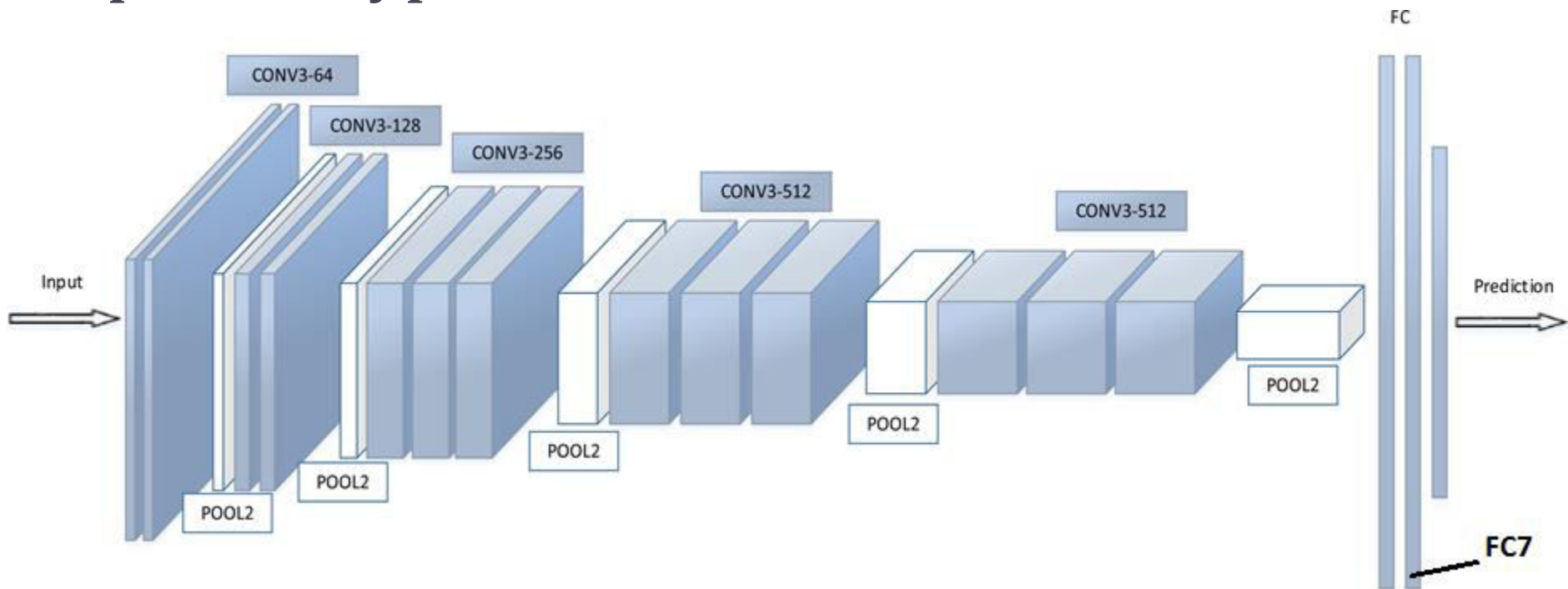
Низкоуровневые
признаки



Общая схема алгоритма



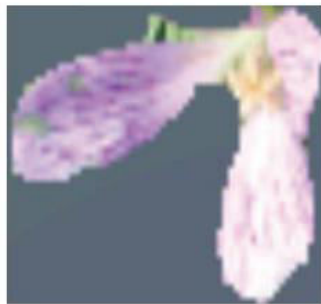
Архитектура VGG-M



- ▶ 5 сверточных слоев
- ▶ 3 полностью соединенных слоя
- ▶ Входной слой принимает изображения размером 224x224
- ▶ Признаки извлекаются из предпоследнего полностью соединенного слоя, **FC7**
- ▶ Выход из **FC7** – вектор размерности 4096



Предварительная обработка сегментов



А. Сегмент помещается в ограничивающий прямоугольник, и его размер изменяется до 224x224. Область вне сегмента заполняется пикселями из среднего изображения



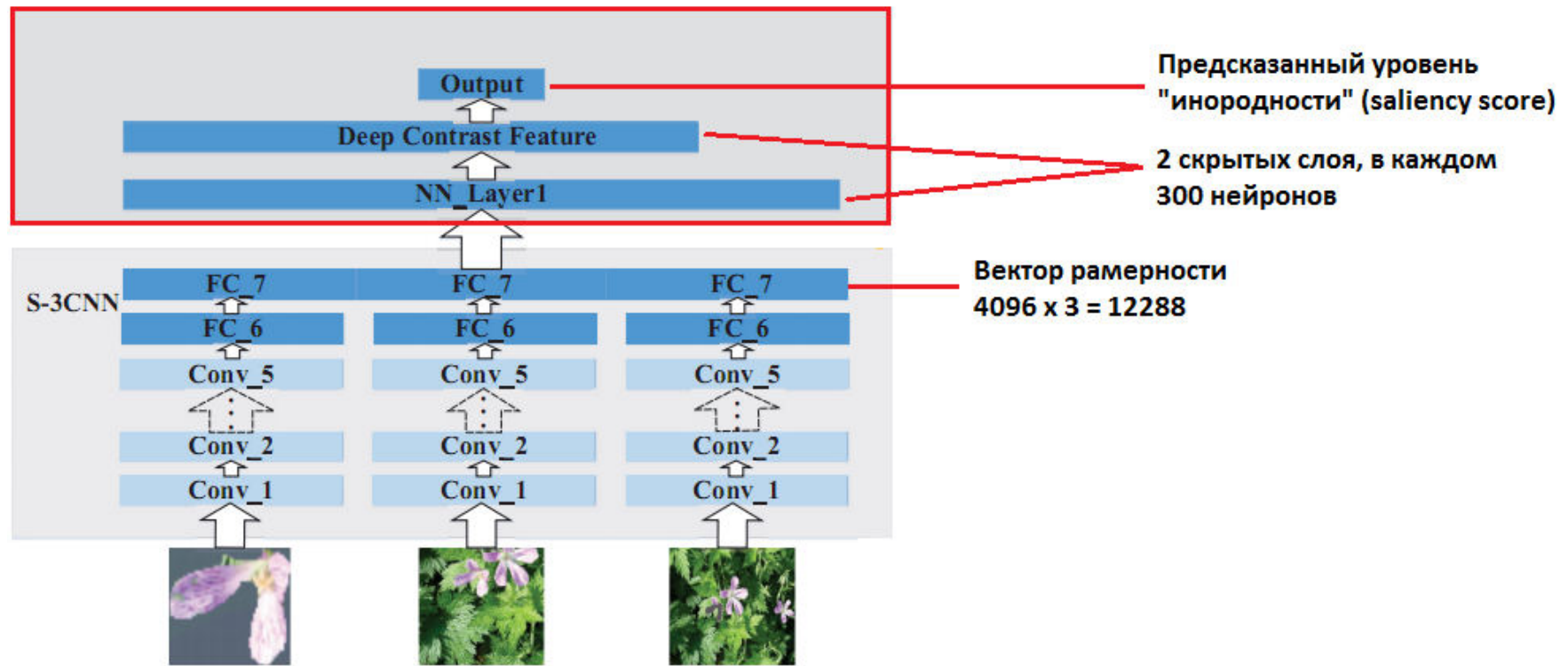
Б. Сегмент и непосредственно граничащие с ним сегменты помещаются в ограничивающий прямоугольник, и его размер изменяется до 224x224



В. Размер всего изображения изменяется до 224x224, при этом область, соответствующая сегменту, заполняется пикселями из среднего изображения

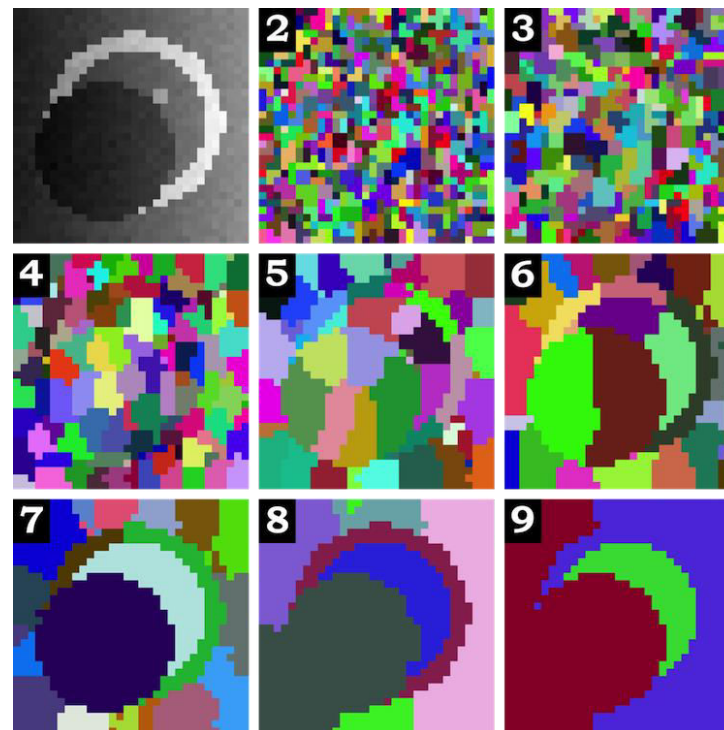


Обучение нейронной сети



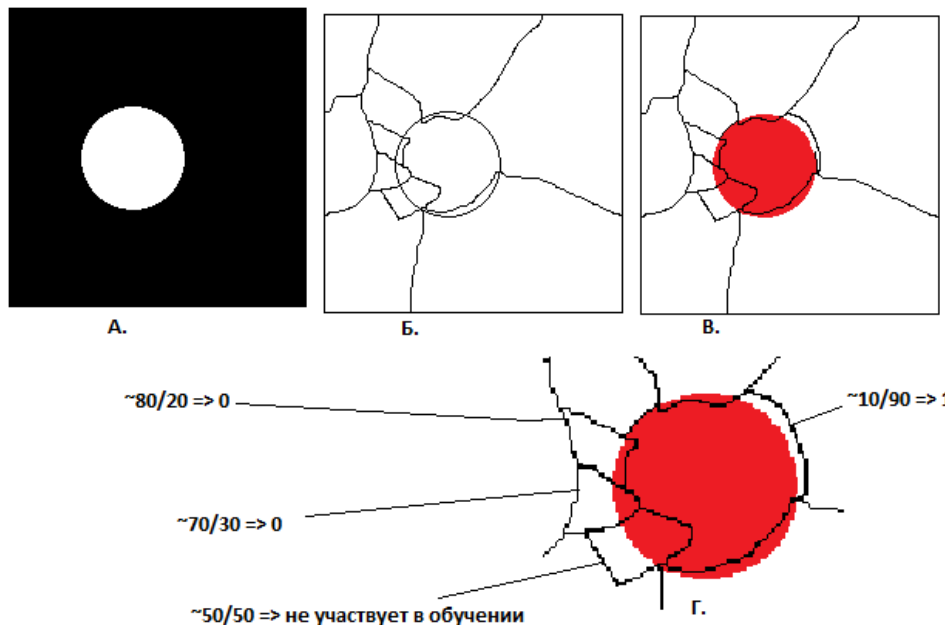
Обучение нейронной сети

- ▶ Перед обучением проводится сегментирование изображения на 15 уровнях. На каждом уровне устанавливается максимальное количество сегментов изображения. На первом уровне это 300 сегментов. На последнем – 20 сегментов. Сегменты со всех уровней участвуют в обучении единственной нейронной сети.



Обучение нейронной сети

- ▶ Каждому сегменту присваивается метка: 0 – сегмент не является инородным, 1 – сегмент является инородным.
- ▶ Решение о том, принимает ли участие сегмент в обучении, принимается по следующему правилу:
 - ▶ Если сегмент на $\geq 70\%$ состоит из истинно инородных пикселей, то он участвует в обучении и ему присваивается метка 1.
 - ▶ Если сегмент на $\geq 70\%$ состоит из истинно **неинородных** пикселей, то он участвует в обучении и ему присваивается метка 0.
 - ▶ Иначе сегмент не участвует в обучении
- ▶ Данную часть метода назовем **MDF**(Multiscale Deep Features).



Объединение карт выделяемости

- ▶ Задача:
 - ▶ Дано: М уровней сегментации изображений
 - ▶ Получено: M карт выделяемости для каждого уровня сегментации
 - ▶ Требуется: объединить M карт выделяемости в одну суммарную
- ▶ Решение:
 - ▶ Взять линейную комбинацию карт выделяемости с весами α_k .
 - ▶ Найти веса с помощью метода наименьших квадратов, используя валидационное множество.

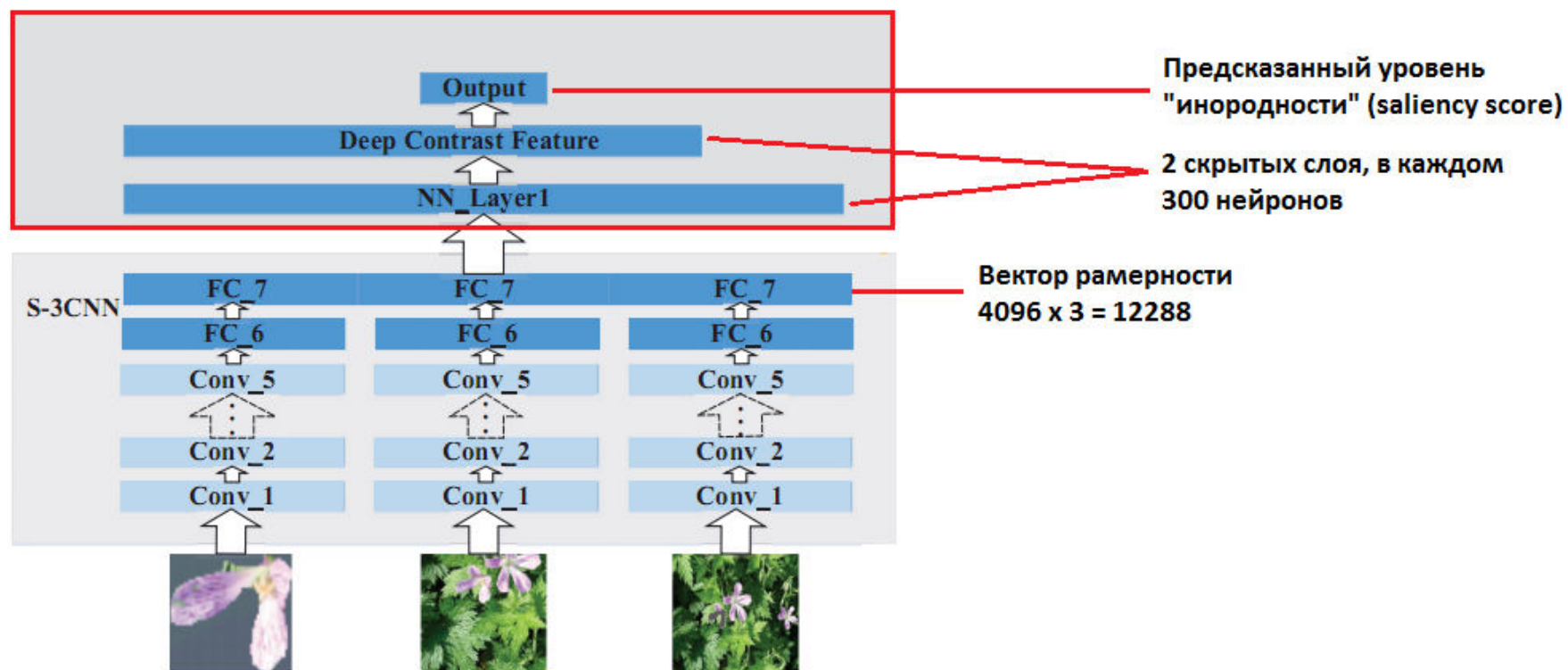
$$A = \sum_{k=1}^M \alpha_k A^{(k)}$$

$$\text{s.t. } \{\alpha_k\}_{k=1}^M = \underset{\alpha_1, \alpha_2, \dots, \alpha_M}{\operatorname{argmin}} \sum_{i \in I_v} \left\| A_i - \sum_k \alpha_k A_i^{(k)} \right\|_F^2$$

I_v - множество индексов изображений валидационного множества

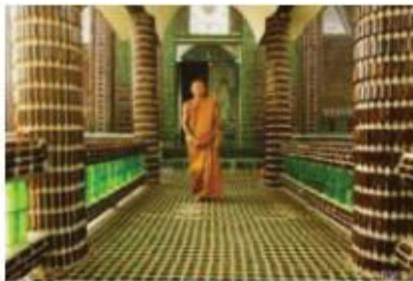


Промежуточные результаты



Промежуточные результаты

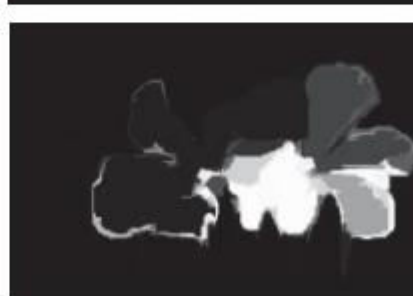
Source



GT

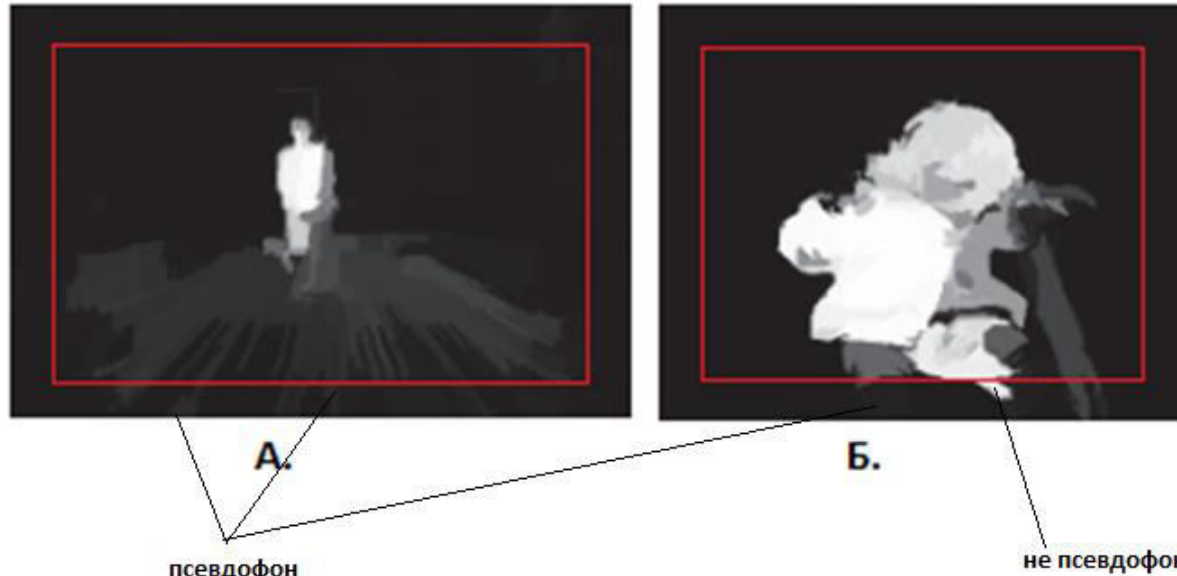


MDF



Интеграция с низкоуровневыми признаками

- ▶ Для каждого изображения определяется начальная карта выделяемости Sm_{init} с помощью MDF.
- ▶ Определяется псевдофоновая область В как множество пикселей, отстоящие не более чем на 30 пикселей от границы изображения и которые имеют $Sm_{init} < 0.1$



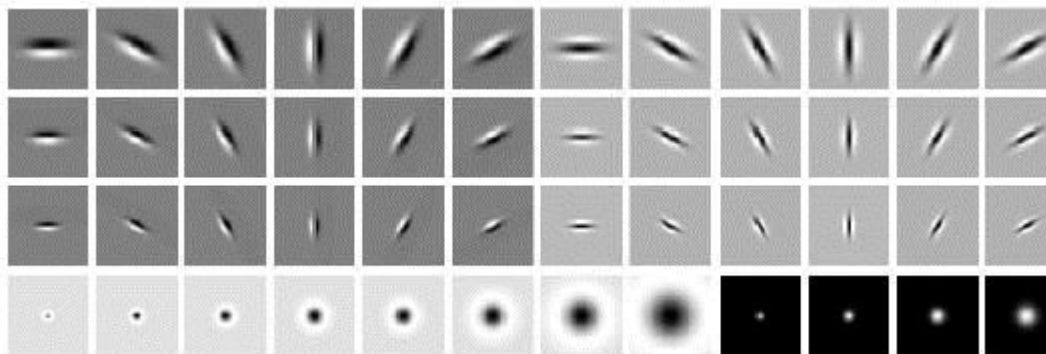
Интеграция с низкоуровневыми признаками

- ▶ Для всего изображения, области В и всех сегментов на всех уровнях сегментации вычисляются признаки, описывающие цвет (RGB, HSV, LAB – гистограммы и их средние значения) и текстуру (LM - фильтры, LBP - признаки).
- ▶ По полученным признакам вычисляются низкоуровневые контрастные признаки.

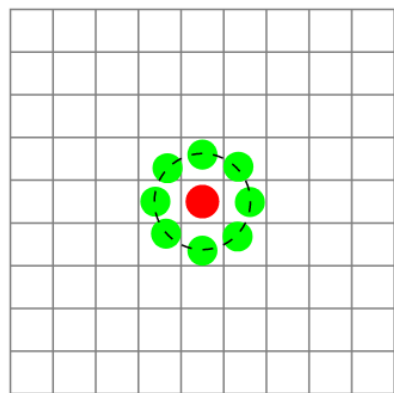


LM – фильтры, LBP

▶ LM(Leung-Malik) - фильтры

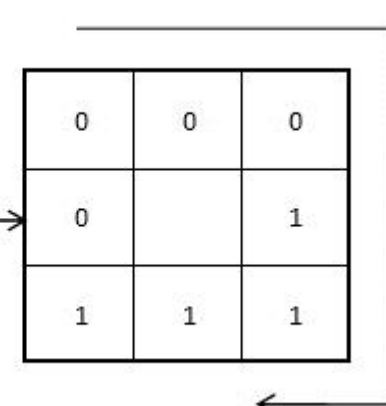


▶ LBP – Local Binary Patterns



22	30	22
29	33	69
36	48	51

Threshold = 33



Binary: 00011110

Decimal: 30



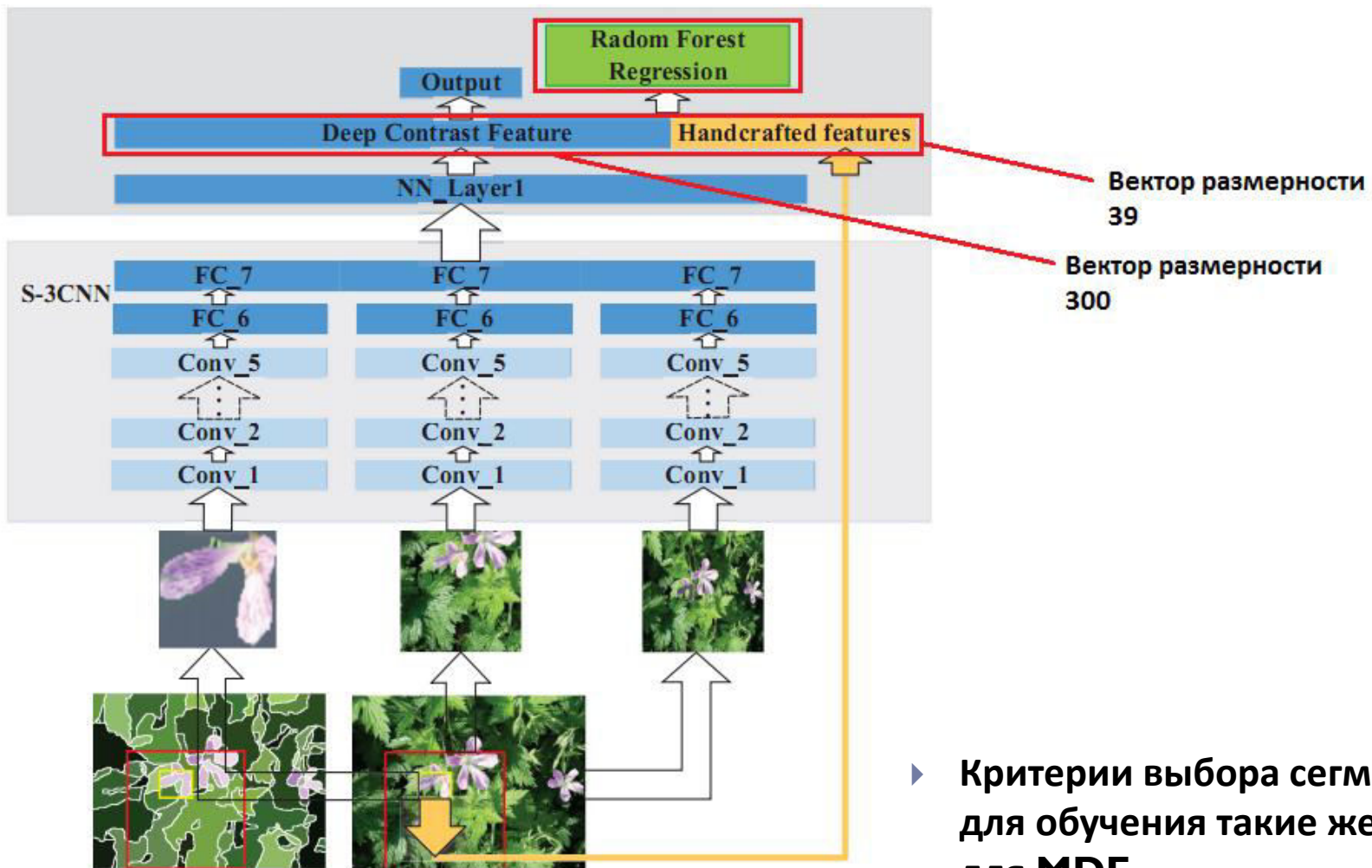
Низкоуровневые контрастные признаки

Contrast Descriptors (Color and Texture)				Segment Properties			
Notation	Features	Definition	Dim	Notation	Features	Definition	Dim
$c_1 \sim c_6$	Difference between Average RGB Values	$ R^{rgb} - B^{rgb} , R^{rgb} - I^{rgb} $	6	$s_1 \sim s_3$	Variances of RGB values	$var_R^r, var_R^g, var_R^b$	3
$c_7 \sim c_8$	χ^2 distance between RGB Histograms	$\chi^2(h_{rgb}^R, h_{rgb}^B), \chi^2(h_{rgb}^R, h_{rgb}^I)$	2	$s_4 \sim s_6$	Variances of LAB values	$var_R^l, var_R^a, var_R^b$	3
$c_9 \sim c_{14}$	Difference between Average LAB Values	$ R^{lab} - B^{lab} , R^{lab} - I^{lab} $	6	$s_7 \sim s_9$	Variance of HSV values	$var_R^h, var_R^s, var_R^v$	3
$c_{15} \sim c_{16}$	χ^2 distance between LAB Histograms	$\chi^2(h_{lab}^R, h_{lab}^B), \chi^2(h_{lab}^R, h_{lab}^I)$	2	s_{10}	Normalized perimeter	$Perimeter(R)$	1
$c_{17} \sim c_{22}$	Difference between Average HSV Values	$ R^{hsv} - B^{hsv} , R^{hsv} - I^{hsv} $	6	s_{11}	Normalized area	$Area(R)$	1
$c_{23} \sim c_{24}$	χ^2 distance between HSV Histograms	$\chi^2(h_{hsv}^R, h_{hsv}^B), \chi^2(h_{hsv}^R, h_{hsv}^I)$	2				
$c_{25} \sim c_{26}$	χ^2 distance b.w. Max response LM Histograms	$\chi^2(h_{LM}^R, h_{LM}^B), \chi^2(h_{LM}^R, h_{LM}^I)$	2				
$c_{27} \sim c_{28}$	χ^2 distance between LBP Histograms	$\chi^2(h_{LBP}^R, h_{LBP}^B), \chi^2(h_{LBP}^R, h_{LBP}^I)$	2				

- ▶ R – сегмент
- ▶ B – псевдофон
- ▶ I – целое изображение

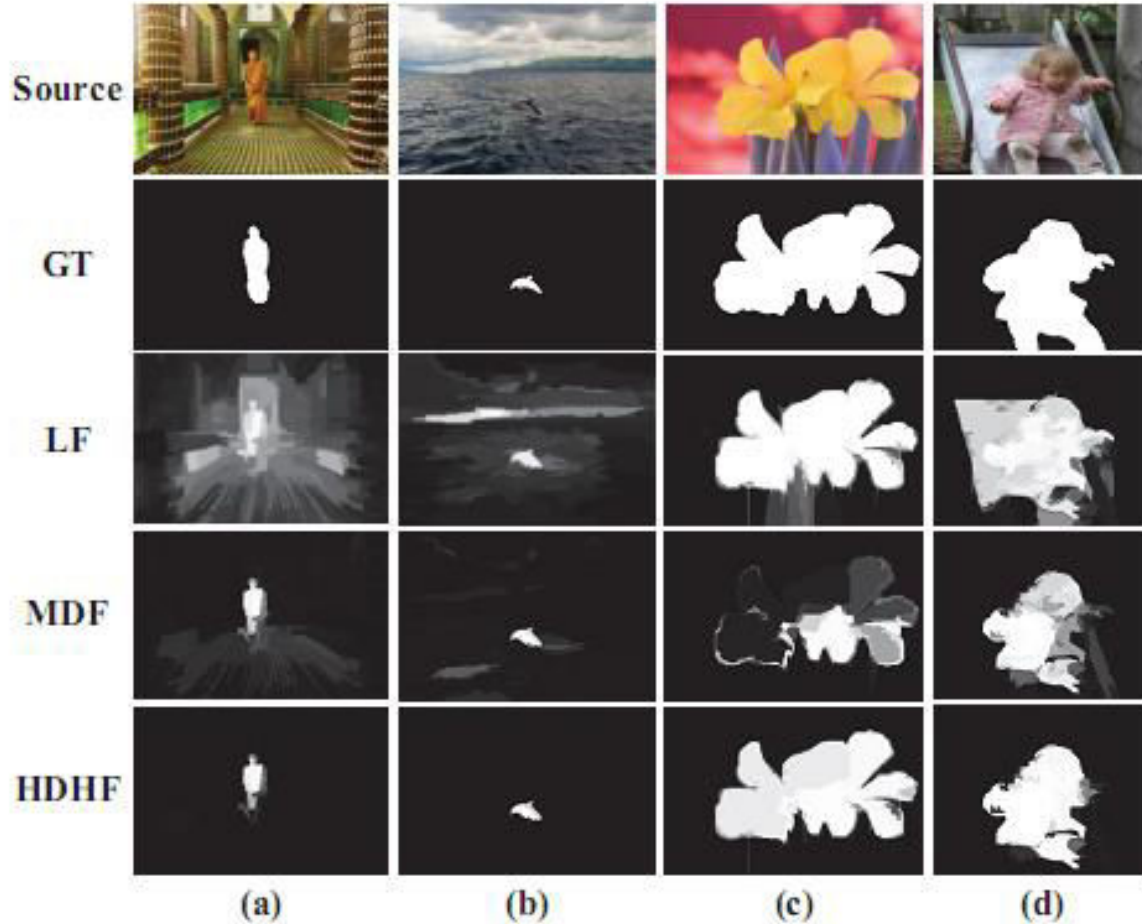


Обучение случайного дерева



- ▶ Критерии выбора сегментов для обучения такие же, как для MDF

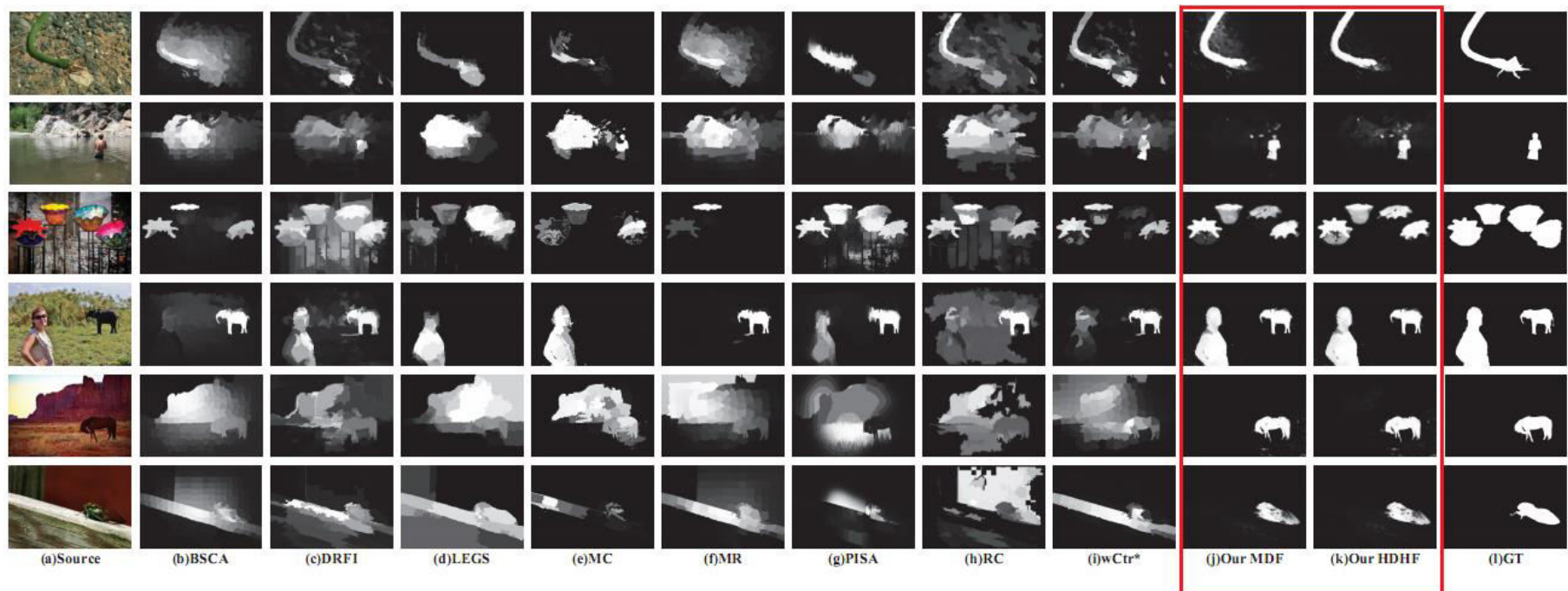
Сравнение результатов



- ▶ GT (ground true) – истинные карты выделяемости
- ▶ LF (low-level features) – карты выделяемости, полученные методом обучения случайного дерева только на низкоуровневых признаках
- ▶ MDF (multiscale deep features) – карты выделяемости, полученные методом обучения только нейронной сети (без использования низкоуровневых признаков)
- ▶ HDHF (hybrid deep and handcrafted feature) – карты выделяемости, полученные методом обучения случайного дерева на признаках из нейронной сети и низкоуровневых признаках



Сравнение с другими методами



Кодирование изображения вектором Фишера

- ▶ **Вектор Фишера** – это представление изображения, полученное в результате пулинга локальных дескрипторов изображения.



Обучающий набор изображений

Локальные дескрипторы изображения обучающего набора - векторы признаков размерности D

Локальные дескрипторы изображения - векторы признаков размерности D
 $I = (\mathbf{x}_1, \dots, \mathbf{x}_N)$

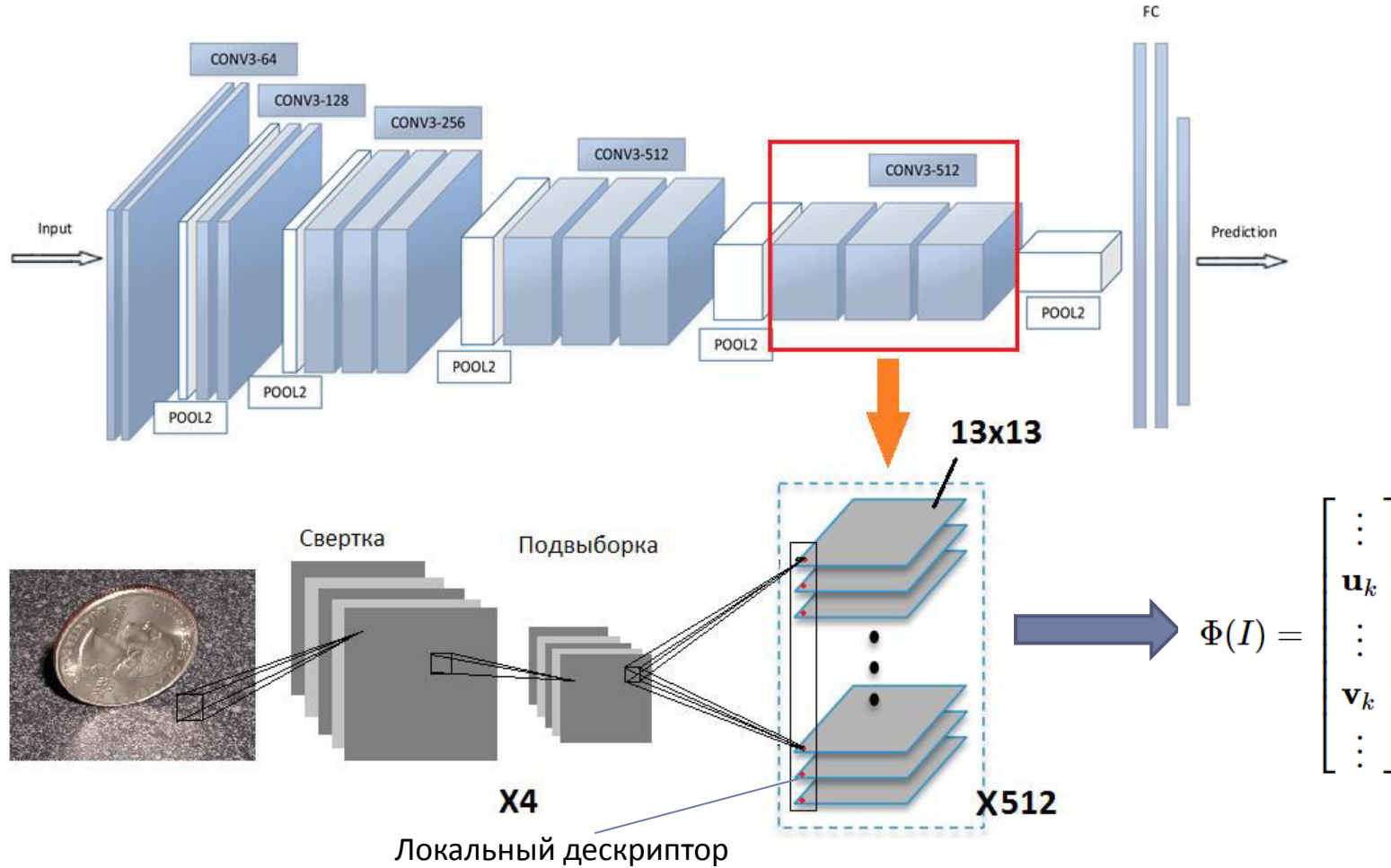
$$q_{ik} = \frac{\exp\left[-\frac{1}{2}(\mathbf{x}_i - \boldsymbol{\mu}_k)^T \boldsymbol{\Sigma}_k^{-1} (\mathbf{x}_i - \boldsymbol{\mu}_k)\right]}{\sum_{t=1}^K \exp\left[-\frac{1}{2}(\mathbf{x}_i - \boldsymbol{\mu}_t)^T \boldsymbol{\Sigma}_k^{-1} (\mathbf{x}_i - \boldsymbol{\mu}_t)\right]}$$
$$u_{jk} = \frac{1}{N\sqrt{\pi_k}} \sum_{i=1}^N q_{ik} \frac{x_{ji} - \mu_{jk}}{\sigma_{jk}},$$
$$v_{jk} = \frac{1}{N\sqrt{2\pi_k}} \sum_{i=1}^N q_{ik} \left[\left(\frac{x_{ji} - \mu_{jk}}{\sigma_{jk}} \right)^2 - 1 \right]$$
$$k = 1, \dots, K$$
$$j = 1, \dots, D$$

Модель смеси гауссовых распределений(GMM), описывающая распределение локальных дескрипторов.
Параметры модели:
 $\Theta = (\boldsymbol{\mu}_k, \boldsymbol{\Sigma}_k, \pi_k : k = 1, \dots, K)$

$$\Phi(I) = \begin{bmatrix} \vdots \\ \mathbf{u}_k \\ \vdots \\ \mathbf{v}_k \\ \vdots \end{bmatrix}$$

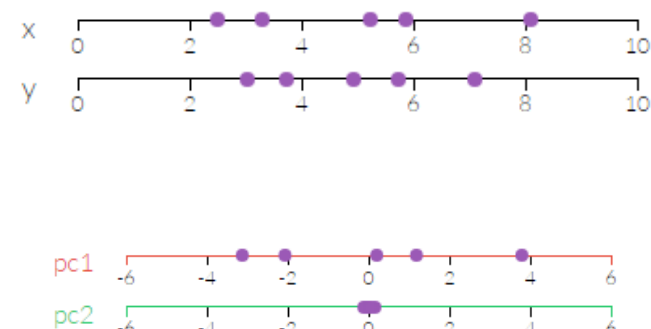
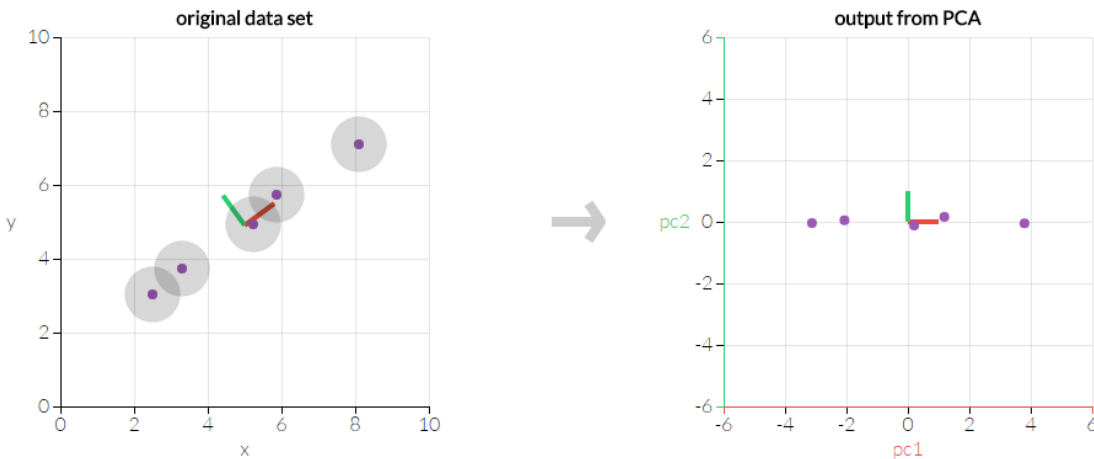
- вектор Фишера

Неупорядоченное кодирование вектором Фишера локальных признаков, полученных с помощью сверточной нейронной сети

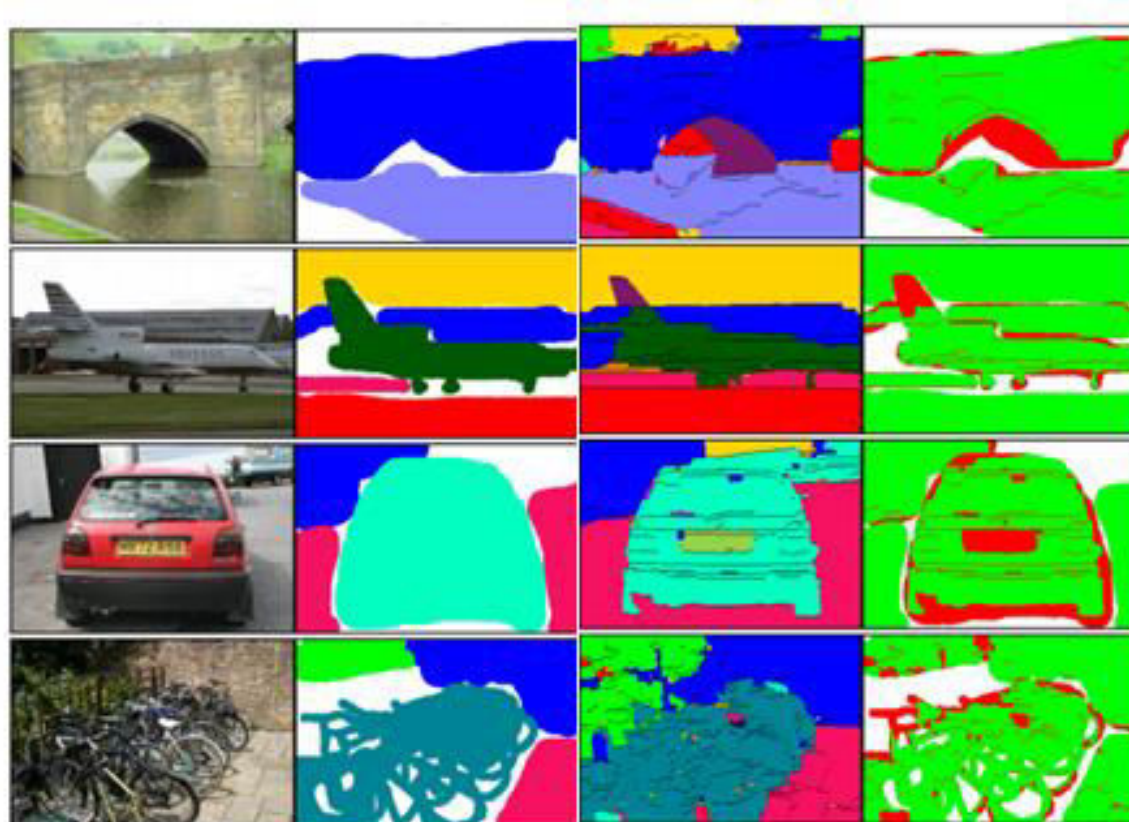


PCA для уменьшения размерности вектора Фишера

- Размерность вектора Фишера = $2 \times K \times D$, K – количество кластеров в GMM, D – размерность вектора - локального дескриптора
- Для $K = 64$, $D = 512$ размерность вектора Фишера = 65536
- Для уменьшения размерности вектора без значительной потери качества можно воспользоваться методом PCA



Использование CNN и пулинга вектором Фишера для сегментации текстурных изображений



(a)

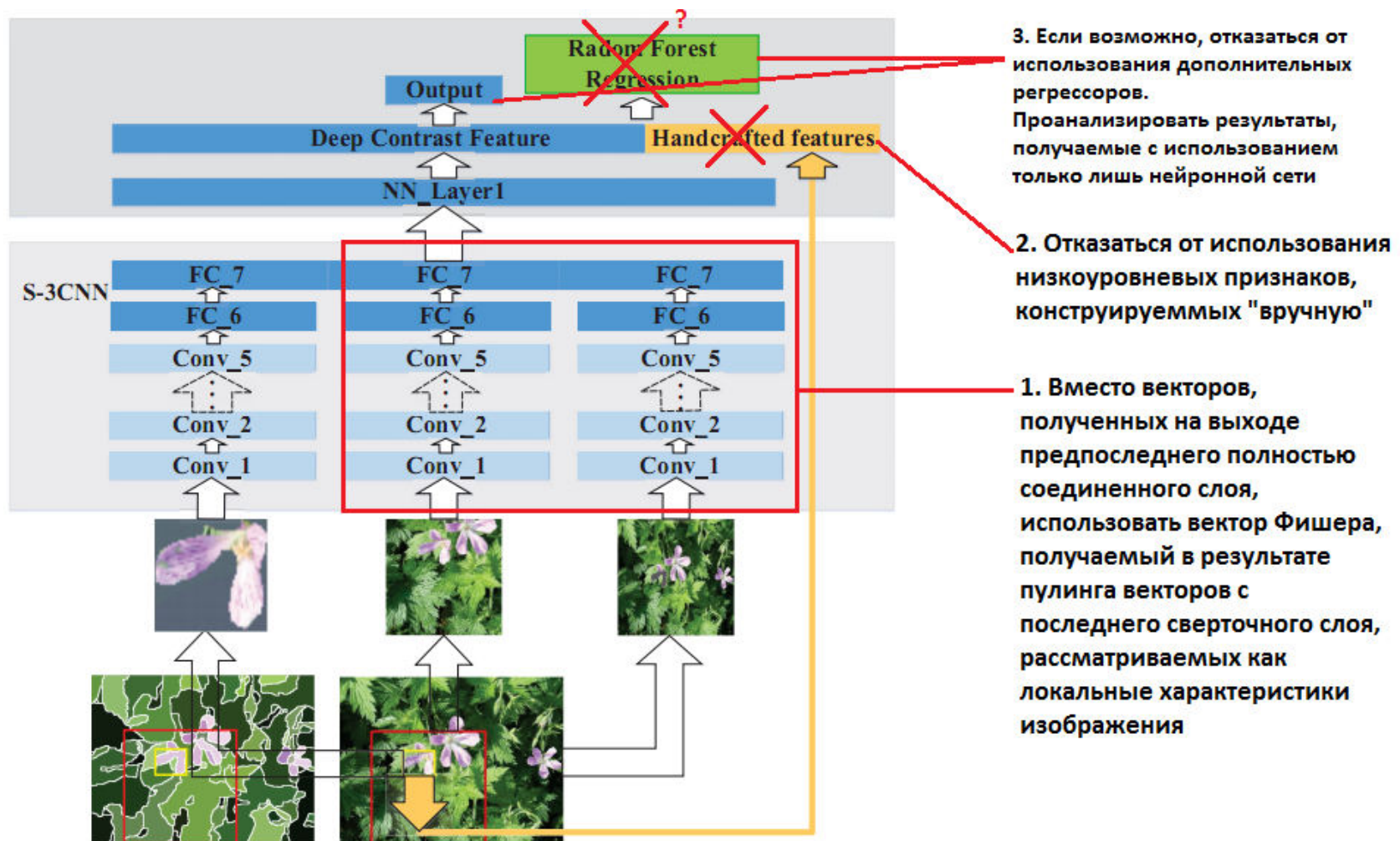
(b)

(c)

(d)



Модификация метода обнаружения инородных объектов



Использованные публикации

1. Cimpoi, M., Maji, S., Kokkinos I., Vedaldi A.: Deep filter banks for texture recognition, description, and segmentation. CoRR abs/1507.02620 (2015) URL: <https://arxiv.org/abs/1507.02620>
2. Guanbin Li, Yizhou Yu: Visual Saliency Based on Multiscale Deep Features. CoRR abs/1503.08663 (2015) URL: <https://arxiv.org/abs/1503.08663>

